

# شبیه سازی عددی فرآیند کشش عمیق

غلامحسین لیاقت

دانشیار

دانشکده فنی و مهندسی، دانشگاه تربیت مدرس

حسن مسلمی نائینی

استادیار

دانشکده فنی و مهندسی، دانشگاه تربیت مدرس

محمد گودرزی

دانشجوی کارشناسی ارشد

دانشکده فنی و مهندسی، دانشگاه تربیت مدرس

مانابو کیوچی

استاد

دانشکده فنی و مهندسی، دانشگاه توکیو

## چکیده

در این مقاله، یک شبیه سازی عددی برای تحلیل فرآیند کشش عمیق محصولات دارای تقارن محوری ارائه شده است. از خصوصیات این شبیه سازی، توکیپ روش های اجزای محدود و نفاضل محدود بوده که موجب ساده شدن تحلیل فرآیند و کاهش زمان محاسبات می گردد. در این تحلیل، اثرات خم و راست شدن ورق روی قالب، اصطکاک، نیروی برشی و تغییر ضخامت در نظر گرفته شده اند. معادلات تعادل نیروها در جهات نصف النهاری و ضخامتی، شامل اثر نیروی تماسی با ابزار و تعادل گستاور محیطی در سراسر ورق ارتفاع می گردند. یک مدل تماسی برای برسی وضعیت تماس هر المان با ابزار در نواحی مختلف ارائه شده است. با استفاده از این شبیه سازی، مشخصات تغییر شکل ورق در هر مرحله از تغییر شکل، توزیع تنش و کرنش و تغییر ضخامت بدست آمده اند. بعلاوه، نتایج تحلیلی مربوط به کرنش محیطی با نتایج تجربی مورد مقایسه قرار گرفته است. تطابق نسبتاً خوب بین این نتایج، اعتبار و صحت این تحلیل را نشان می دهد.

## کلمات کلیدی

شبیه سازی عددی، جامد ارجاعی - خمیری، کشش عمیق، شکل دهی ورقی فلزات، مدل تماسی

## A Numerical Simulation for Deep Drawing Process

H.Moslemi Naeini

Assistant Professor

Faculty of Engineering,

Tarbiat Modarres University

G.Liaghat

Associate Professor

Faculty of Engineering,

Tarbiat Modarres University

M.Kiuchi

Professor

Faculty of Engineering,

Tokyo University

M.Goodarzi

M.Sc. Student

Faculty of Engineering,

Tarbiat Modarres University

## Abstracts

In this paper, a numerical simulation for analysis of the deep drawing process of axisymmetric products (Cup Drawing) is given. It is based on a combination of both Finite Element and Finite Difference Methods. The analysis of process is thus simplified and the computational time is reduced. Bending and unbending at the die profile, friction, shearing force and change in thickness are taken into account. The equilibrium equations of forces in the meridian and thickness directions including the effect of the contact force of the tool and the equilibrium of peripheral moment are satisfied in all parts of the material. A contact model has also been given to judge the contact stating of each element with tool.

*By using the simulation, the deformation features of the circular blank can be obtained. These include the geometrical shapes of blank at each deformation step, stress and strain distributions and change of thickness. Moreover, the results of analysis regarding peripheral strain are compared with the experimental results. Good agreements between the analysis and experimental results show the validity of the simulation.*

## Key words

*Numerical simulation, Elasto-plastic solid, Deep drawing, Sheet metal forming, Contact model.*

## مقدمه

از این روش، پیشگویی وقوع معایب در محصول و اثر پارامترهای مختلف فرآیند نظری ابعادلوه، غلتک و محصول و خواص فلزروی توزیع تنش و کرنش، نیروها، ممان‌های خمشی اعمالی بر سطح مقطع لوله، توزیع شعاع انحناء در جهت محیطی بررسی می‌شوند. در حالتهای مختلف، نتایج بدست آمده از تحلیل با اندازه گیری‌های انجام شده با روش‌های تجربی و عملی مقایسه شده و تطابق خوبی بین آنها مشاهده گردیده است.

هانسن (Hansen) و همکاران [۶]، تحلیل عددی فرآیند کشش عمیق دارای تقارن محوری را با روش تفاضل محدود انجام داده اند.

در این مقاله، جهت تحلیل عددی فرآیند کشش عمیق قطعات استوانه‌ای، روشی عددی مرکب از روش‌های اجزای محدود و تفاضل محدود توسعه و استفاده شده است [۷].

## روش تحلیل

همچنانکه در شکل ۱ نشان داده شده است، ورق گرد (blank) به نام  $np \times np$  حلقوی به نام «المان های اصلی» (blank) که دارای گره‌های مرزی  $i_1, i_2, \dots, i_n, i_{n+1}, \dots, i_{np+1}$  است تقسیم می‌گردد. هر المان اصلی نیز به  $nt$  المان لایه ای به نام «المان های فرعی» ( $i_1, i_2, \dots, i_n$ ) که دارای ضخامت‌های  $\Delta t_{i_1}, \Delta t_{i_2}, \dots, \Delta t_{i_n}$  هستند تقسیم می‌شود.

مطابق شکل ۲، موقعیت گره‌های بامؤلفه های  $(z_i, r_i)$  و زاویه انحراف  $\theta_i$  معرفی می‌شود. از آنجاکه تغییر شکل دارای تقارن محوری است، تغییر مکان محیطی وجود ندارد. المان‌های اصلی با توجه به وضعیت تماسی، تحت ۵ نوع تغییر شکل همانند شکل ۳ قرار می‌گیرند.

- ۱- در طول تغییر شکل، سطح مقطع جانبی همواره عمود بر سطح ورق باقی می‌ماند.
- ۲- ارتغییر شکل برشی بین المان‌های فرعی صرفنظر می‌گردد.
- ۳- المان‌های اصلی در راستای پروفیل ورق (جهت نصف

کشش عمیق، فرآیند شکل دهنی یک ورق مسطح فلزی به یک پوسته استوانه ای یا جعبه ای شکل است. این فرآیند، مهمترین و معروف‌ترین فرآیند شکل دهنی ورقی به شمار می‌رود. از آن به عنوان روشی برای آزمایش خواص مواد ورقی شکل نیز استفاده می‌شود.

برای مطالعه فرآیند کشش عمیق، تاکنون بررسی‌های تجربی، تحلیلی و عددی فراوانی گزارش شده است. در این میان، روش‌های تجربی در بیان جزئیات دقیق فرآیند ضعیف بوده و دارای محدودیت کاربرد هستند. روش‌های تحلیلی غالباً برپایه روش اسلب (Slab Method) واقعند که در آن فرضیات زیادی در نظر گرفته می‌شود. بسیاری دیگر از تحلیل‌ها به تئوری غشایی وابسته اند که در آن اثرات خمش و تغییر ضخامت صرفنظر می‌شود.

روش اجزای محدود که بخصوص برای تغییر شکل‌های پلاستیکی بزرگ مناسب است، به زمان محاسباتی زیاد و رایانه‌های قوی نیاز دارد. روش‌های تفاضلی به زمان محاسباتی کمتر نیاز داشته و فرمولبندی آنها ساده‌تر است. المکی و وو (Al-Makky & Woo) [۱] تحلیل عددی کشش عمیق را با استفاده از تئوری غشایی و در قالب تراکتیریکس (tractrix) ارائه کرده‌اند.

کوبایاشی و کیم (Kobayashi & Kim) [۲] با استفاده از روش اجزای محدود، فرآیند شکل دهنی ورقی متقارن را برای اجسام صلب - خمیری بررسی کرده‌اند.

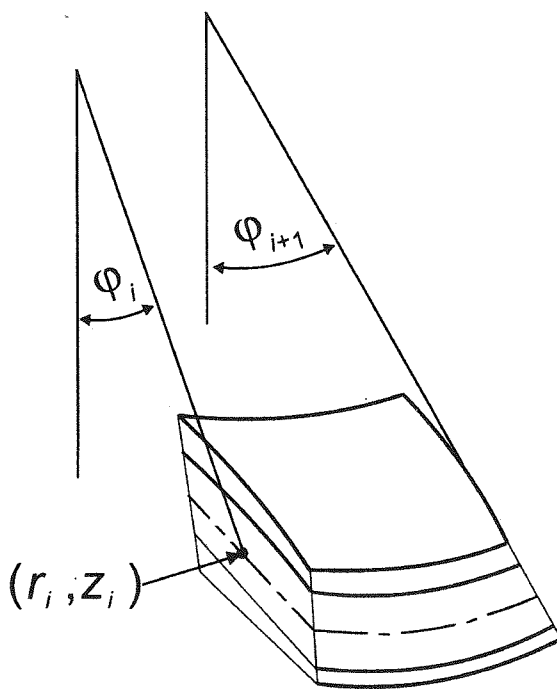
ساایتو (Saito) و همکاران [۳] تحلیل ارجاعی و خمیری جامعی را که مرکب از روش‌های اجزای محدود و تفاضل محدود بوده و مشتمل بر اثرات خمش و تغییر ضخامت ورق در حین تغییر شکل است، تدوین نموده اند. با توجه به انعطاف پذیر بودن تحلیل، می‌توان از آن برای مطالعه فرآیند کشش، با ابزار دارای شکل‌های مختلف و یا سایر فرآیندهای شکل دهنی متقارن یا غیر متقارن نیز استفاده کرد.

کیوچی (Kiuchi) و همکاران [۴] با توسعه تحلیل فوق، روشی برای بررسی تغییر شکل ارجاعی و خمیری لوله در فرآیند شکل دهنی مجدد لوله‌های غیر گرد تدوین نموده اند. با استفاده

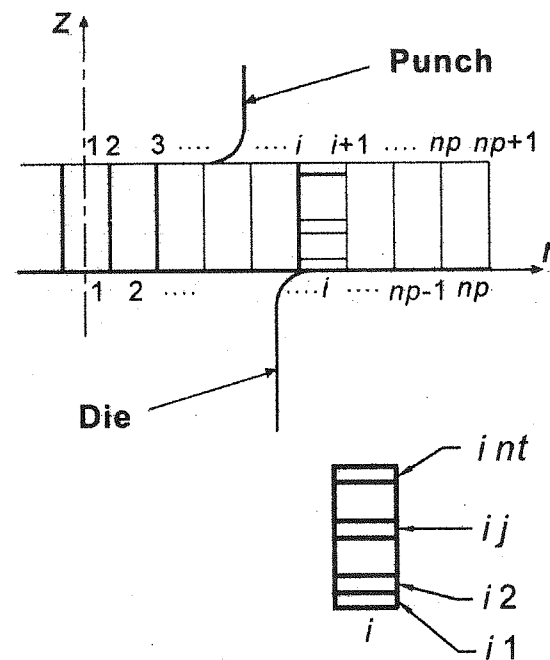
$$\Delta\varphi_i = \varphi_{i+1} - \varphi_i \quad (5)$$

النهاری) دارای یک شعاع انحنای ثابت هستند.

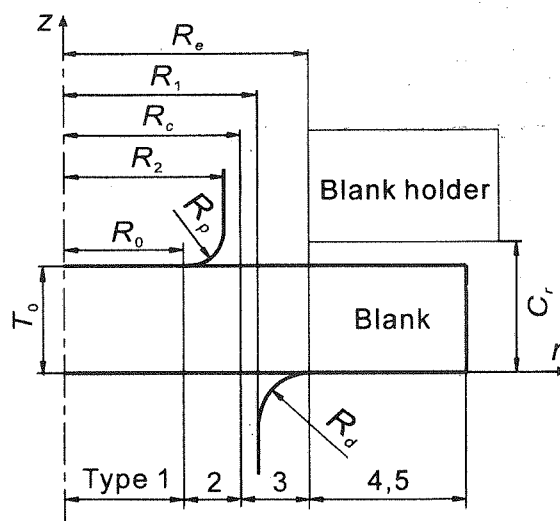
- رفتار ورق ارجاعی - کارسخت خطی در نظر گرفته شده است.



شکل (۲) مختصات یک المان اصلی.



شکل (۱) سطح مقطع ورق و تقسیم بدی المان‌ها.



شکل (۳) نواحی مختلف تماسی در این تحلیل.

مختصات شعاعی لبه‌های درونی و بیرونی المان فرعی (ij) عبارتند از:

$$(r_i)_{ij} = r_i - \eta_{ij} \sin \varphi_i \quad (6)$$

### روابط تغییر مکان، گرنش و قشن

از آنجا که زاویه  $\varphi_i$  به مختصات  $z, r$  وابسته است و با توجه به فرض ۳، بین این مولفه‌ها رابطه سازگاری زیر برقرار است:

$$\frac{1}{2} (\varphi_i + \varphi_{i+1}) = \tan^{-1} \left( \frac{z_{i+1} - z_i}{r_{i+1} - r_i} \right) \quad (1)$$

طول المان اصلی (i) و المان فرعی (ij) در جهت نصف النهاری عبارت است از:

$$L_i = \sqrt{(r_{i+1} - r_i)^2 + (z_{i+1} - z_i)^2} \quad (2)$$

$$L_{ij} = L_i - \eta_{ij} \Delta\varphi_i \quad (3)$$

که در روابط فوق،  $\eta_{ij}$  فاصله المان فرعی (ij) از سطح میانی المان اصلی (i) است و با رابطه زیر تعریف می‌شود:

$$\eta_{ij} = \frac{1}{2} (\Delta t_{i1} + \Delta t_{i2} + \dots + \Delta t_{ij-1} + \Delta t_{ij+1} - \dots - \Delta t_{int}) \quad (4)$$

و زاویه خمیدگی المان  $i$  دارای رابطه زیر است:

$$(\sigma_t)_{ij} = \frac{1}{2} (\sigma_{ij}^{nor} + \sigma_{ij+1}^{nor}) \quad (11)$$

رابطه نموی تنش و کرنش را می توان به شکل زیر بیان کرد:

$$\{\delta\sigma\}_{ij} = C_{ij} \{\delta\varepsilon\}_{ij} \quad (12)$$

بطوریکه ماتریس نمو تنش عبارتست از:

$$\{\delta\sigma\}_{ij} = [(\delta\sigma_\phi)_{ij}, (\delta\sigma_\theta)_{ij}, (\delta\sigma_t)_{ij}]^t \quad (13)$$

مؤلفه های ماتریس  $C$  در حالت الاستیک از قانون هوک و در حالت پلاستیک ازتابع پتانسیل پرانتل (Prandtl) [۸] می توان استخراج می شوند. بنابراین از رابطه (۹) خواهیم داشت:

$$\{\delta\sigma\}_{ij} = B \mathbf{1}_{ij} \{\delta X\}_i + B \mathbf{2}_{ij} \{d(\Delta t)\}_i \quad (14)$$

برای المان فرعی (ij)، از معادله تعادل نیروها در جهت ضخامت داریم:

$$d\sigma_{ij}^{nor} = J_{ij} \{\delta X\}_i + K_{ij} \{d(\Delta t)\}_i \quad (15)$$

برای المان های نوع ۱ و ۲ و ۵ که نیروی عمودی روی سطح پایینی معلوم است، شرط مرزی عبارتست از:

$$d\sigma_{ij}^{nor} = 0 \quad (16)$$

و برای المان های نوع ۳ و ۴ که نیروی عمودی روی سطح بالایی معلوم است:

$$d\sigma_{int+1}^{nor} = 0 \quad (17)$$

با بکارگیری شکل نموی معادله (۱۱) و رابطه (۱۵) و نیز یکی از شرایط مرزی (۱۶) یا (۱۷)، خواهیم داشت:

$$\{d(\Delta t)\}_i = N \mathbf{1}_i \{\delta X\}_i \quad (18)$$

رابطه فوق از اهمیت زیادی برخوردار است. زیرا در حالیکه در تحلیل، تغییر ضخامت لحاظ می شود، ولی نمو تغییر ضخامت المان های فرعی با استفاده از رابطه فوق از معادلات حذف می شود، که این امر کمک شایانی به کاهش تعداد متغیرها و معادلات و در نتیجه افزایش سرعت محاسبات می کند. لذا با جایگذاری رابطه (۱۸) در معادلات (۹) و (۱۴) و

$$(ro)_{ij} = r_{i+1} - \eta_{ij} \sin \varphi_{i+1} \quad (7)$$

مؤلفه های نموی کرنش برای استفاده از تئوری نموی عبارتند از:

$$\begin{aligned} (\delta\sigma_\phi)_{ij} &= \frac{dL_{ij}}{L_{ij}} \\ (\delta\sigma_\theta)_{ij} &= \frac{d(ro)_{ij}}{(ro)_{ij}} \\ (\delta\sigma_t)_{ij} &= \frac{d(\Delta t)_{ij}}{(\Delta t)_{ij}} \end{aligned} \quad (8)$$

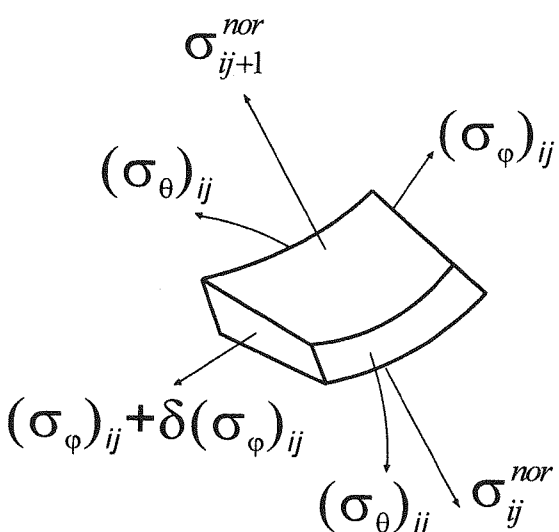
که  $\varphi$  و  $t$  به ترتیب جهات نصف النهاری، محیطی و ضخامتی هستند. با استفاده از معادلات (۵)-(۲) می توان رابطه (۸) را به شکل ماتریسی زیر نوشت:

$$\{\delta\varepsilon\}_{ij} = A \mathbf{1}_{ij} \{\delta X\}_i + A \mathbf{2}_{ij} \{d(\Delta t)\}_i \quad (9)$$

بطوریکه:

$$\begin{aligned} \{\delta\varepsilon\}_{ij} &= [(\delta\sigma_\phi)_{ij}, (\delta\sigma_\theta)_{ij}, (\delta\sigma_t)_{ij}]^t \\ \{\delta X\}_i &= [dx_i, dz_i, d\varphi_i, dx_{i+1}, dz_{i+1}, d\varphi_{i+1}]^t \\ \{d(\Delta t)\}_i &= [d(\Delta t)_{i1}, d(\Delta t)_{i2}, \dots, d(\Delta t)_{int}]^t \end{aligned} \quad (10)$$

شکل (۴) وضعیت تنش های اعمال شده روی المان فرعی (ij) را نشان می دهد.



شکل (۴) تنش های اعمال شده روی یک المان فرعی.

در این المان، تنش در جهت ضخامت از رابطه زیر به دست می آید:

که می‌ضریب اصطکاک بوده و علامت آن با توجه به جهت حرکت المان تعیین می‌شود.  
در روابط فوق، مقادیر  $M_\theta, M_i, N_\theta, N_i$  عبارتند از:

$$\frac{1}{2} (N_i + N_{i+1}) = \sum_{j=1}^{nt} (\sigma_\phi)_{ij} \Delta t_{ij} \quad (24)$$

$$\frac{1}{2} (M_i + M_{i+1}) = \sum_{j=1}^{nt} (\sigma_\phi)_{ij} \Delta t_{ij} \eta_{ij} \quad (25)$$

$$(N_\theta)_i = \sum_{j=1}^{nt} (\sigma_\theta)_{ij} \Delta t_{ij} \quad (26)$$

$$(M_\theta)_i = \sum_{j=1}^{nt} (\sigma_\theta)_{ij} \Delta t_{ij} \eta_{ij} \quad (27)$$

با استفاده از معادلات (21)-(27)، دستگاهی شامل ۵ معادله تشکیل می‌شود:

$$\begin{aligned} D1_i \{dX\}_i + D2_i \left[ \frac{dN_i}{dN_{i+1}} \right] + D3_i \left[ \frac{dM_i}{dM_{i+1}} \right] \\ D4_i \left[ \frac{dQ_i}{dQ_{i+1}} \right] + D5_i [dp_i] = 0 \end{aligned} \quad (28)$$

معادله ششم نیز از رابطه سازگاری (۱) به دست می‌آید:

$$D6_i \{dX\}_i = 0 \quad (29)$$

برای المان مرکزی  $i=1$ ، از آنجا که مقادیر  $\varphi_i, r_i, (ri), \mu p_i$  صفرند، رابطه (28) شامل تنها ۳ معادله خواهد بود.

## روش حل عددی

بردار متغیرها شامل  $7np+3$  متغیر به قرار زیر است:

$$\begin{aligned} \{X\} = & [dr_1, dz_1, d\varphi_1, dp_1, dr_2, dz_2, d\varphi_2, dQ_2, \\ & dN_2, dM_2, d\varphi_2, \dots, dr_i, dz_i, d\varphi_i, dQ_i, \\ & dN_i, dM_i, dP_i, \dots, dr_{np+1}, dz_{np+1}, d\varphi_{np+1}, \\ & dQ_{np+1}, dN_{np+1}, dM_{np+1}] \end{aligned}$$

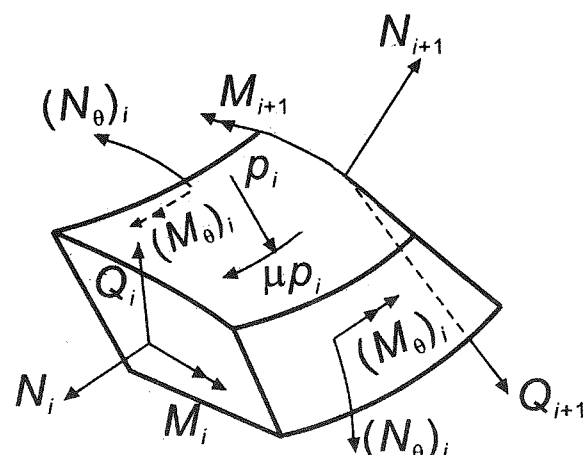
این در حالی است که روابط (28) و (29)، کلاً ۶np-۲ معادله را شامل می‌شوند. بنابراین از شرایط مرزی که شامل  $dM_{np+1}=0$ ،  $dN_{np+1}=0$  و  $d\varphi_i=0$  برای المان اول و  $0=dQ_{np+1}$  برای المان آخر است، استفاده می‌شود. همچنین با توجه به وضعیت تماس بین ابزار و المان اصلی

حذف نمو ضخامت، روابط نموی تنش و کرنش به شکل زیر در می‌آیند:

$$\{de\}_{ij} = N2_{ij} \{dX\}_i \quad (19)$$

$$\{d\sigma\}_{ij} = N3_{ij} \{dX\}_i \quad (20)$$

شکل ۵، نیروها و گشتاور واردۀ روی المان اصلی (i) را نشان می‌دهد.  $P_i$  نیروی تتماسی بین المان مورد نظر و ابزار است که در جهت نشان داده شده مثبت فرض می‌شود. معادلات تعادل نیروها در جهت ضخامت ورق و جهت نصف النهاری و تعادل گشتاور برای یک المان اصلی عبارتند از:



شکل (۵) نیروها و گشتاور اعمالی بر یک المان اصلی.

$$\frac{1}{2} (N_{i+1}r_{i+1} + N_ir_i) \Delta\varphi_i - Q_{i+1}r_{i+1} + Q_ir_i$$

$$+ (N_\theta)_i L_i \sin\varphi_i - p_i \frac{r_i + r_{i+1}}{2} L_i = 0 \quad (21)$$

$$\begin{aligned} N_{i+1}r_{i+1} - N_ir_i + \frac{1}{2} (Q_{i+1}r_{i+1} - Q_ir_i) \Delta\varphi_i \\ - (N_\theta)_i L_i \cos\varphi_i \pm \mu p_i \frac{r_i + r_{i+1}}{2} L_i = 0 \end{aligned} \quad (22)$$

$$M_{i+1}r_{i+1} - M_ir_i - (M_\theta)_i L_i \cos\varphi_i$$

$$\begin{aligned} - \frac{1}{4} (N_{i+1}r_{i+1} - N_ir_i) L_i \Delta\varphi_i \\ + \frac{1}{2} (Q_{i+1}r_{i+1} + Q_ir_i) L_i = 0 \end{aligned} \quad (23)$$

در شکل ۸، خط چین های رسم شده انحنای نواحی مختلف ورق را در  $Step = 1000$  نشان می دهند. خطوط پر رنگ، مربوط به مقادیر تئوری است، که با توجه به ابعاد سننه و قالب بدست آمده اند. یعنی در ناحیه صاف زیر سننه، شعاع انحنای ورق ( $R$ ) بی نهایت و لذا انحنای ورق  $\frac{1}{R}$  صفر است.

به همین ترتیب

$$R = R_p = \frac{1}{R} \text{ و } 5 = 0.2$$

$$R = R_d = \frac{1}{R_d} = 0.2 \text{ و } 5$$

$$\frac{1}{R} = 0$$

و روی ناحیه فلنچ قالب:

### کلش نصف النهاری

شکل ۹، بیانگر توزیع تنش نصف النهاری برای سه لایه مختلف ( $j=1, 3, 5$ ) در راستای پروفیل اولیه ورق (قبل از تغییر

شکل) است، بطوريکه:

$j=1$ : لایه پایینی و مجاور قالب

$j=3$ : لایه میانی ورق

$j=5$ : لایه بالایی و مجاور سننه می باشد.

نمودارها به ازای  $Step = 610$  که معادل  $6.1mm$  تغییر مکان عمودی سننه است، رسم شده اند.

(i)، برای هر المان می توان یک معادله نوشت. اگر المان دارای تماس با ابزار باشد، مختصات نقطه تماس باید در یک شرط هندسی که در جدول ۱ آمده است صدق کند تا تماس حفظ شود. ولی اگر المان قادر تماس باشد نیروی تماسی صفر است ( $dP_i = 0$ ). در طول محاسبات، تماس یا عدم تماس المان با قالب و سننه، با توجه به موقعیت المان اصلی (i) و نیز نیروی تماسی  $P_i$  تعیین می شود. با استفاده از این شرایط و نیز با بکارگیری تغییر مکان عمودی سننه به عنوان پارامتر تغییر شکل، دستگاه معادلات خطی  $\{Y\} = [K]\{X\}$  تشکیل و با حل آن، نموهای تنش و کرنش و متغیرهای فوق الذکر محاسبه می شوند. فلوچارتی از روال محاسبات این شبیه سازی در شکل (۶) ارائه شده است.

### تایپ تحلیل عددی و بحث

نتایج تحلیل عددی کشش عمیق یک محصول استوانه ای با جنس فولاد نرم ارائه می شود. شرایط کاری بکار گرفته شده در تحلیل، در جدول ۲ معرفی شده اند.

شکل ۷، سطح مقطع ورق را در طی چند مرحله مختلف  $Step = 400$ ,  $Step = 600$ ,  $Step = 800$ ,  $Step = 1000$  نشان می دهد. با افزایش مراحل کشش، یعنی بیشتر شدن تغییر مکان عمودی سننه، محصول عمیقت و شعاع انحنای نواحی از ورق که دارای تماس با ابزار است به شعاع انحنای ابزار نزدیکتر شده و تغییر شکل می یابند.

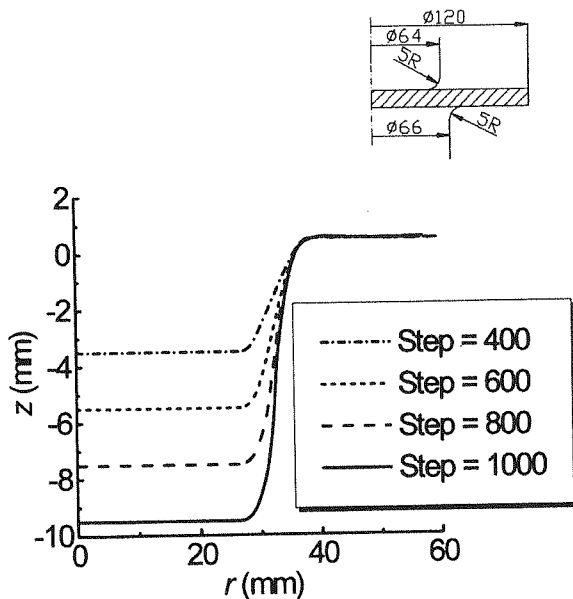
جدول (۱) وضعیت ها و نواحی مختلف تماسی.

شرط مرزی هندسی نقطه تماس	موقعیت تماس	*موقعیت	ناحیه
$z = -S_t + H_o$	ناحیه صاف سننه	$O \leq (rd)_i < R_o$	۱
$(r - R_o)^2 + (z + S_t - H_o - R_p)^2 = Rp^2$	ناحیه خم سننه	$R_o \leq (rd)_i < R_c$	۲
$r = R_2$	دیواره سننه		
$(r - R_c)^2 + (z + Rd)^2 = Rd^2$	ناحیه خم قالب	$R_c \leq (rd)_i < R_e$	۳
$r = R_1$	دیواره قالب		
$z = 0$	فلنج قالب	$R_e \leq (rd)_i$	۴
$z = C_r$	ورقگیر	$R_e \leq (rd)_i$	۵

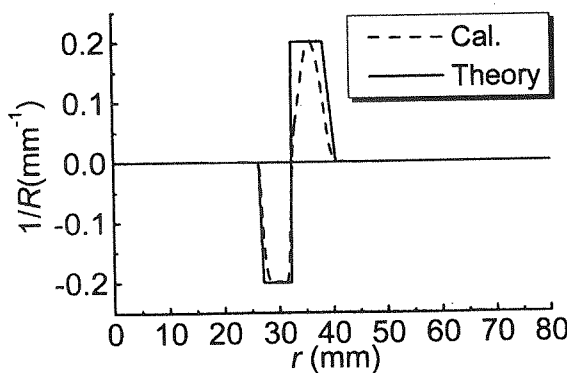
$$(rd)_i = \frac{r_i + r_{i+1}}{2}$$

جدول (۲) شرایط کاری بگار گرفته شده در این تحلیل عددی.

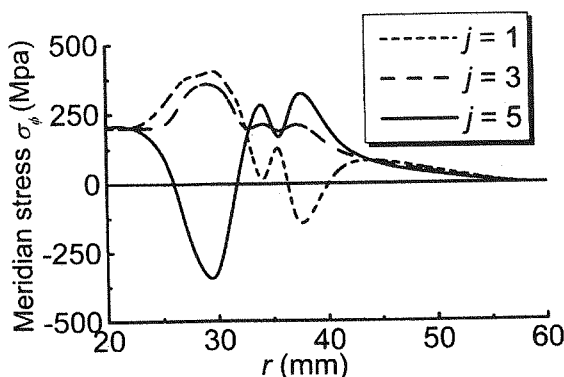
واحد	مقدار	نشانه	فاکتور
Gpa	169	E	مدول یانگ
—	0.3	v	ضریب پواسون
Mpa	294	$Y_o$	تنش تسلیم اولیه
Mpa	588	H	مدول کار سختی
mm	120	$D_0$	قطر اولیه ورق
mm	1	$T_0$	ضخامت اولیه ورق
mm	33	$R_1$	شعاع گلوبی قالب
mm	5	$R_d$	شعاع خم قالب
mm	32	$R_2$	شعاع سنبه
mm	5	$R_p$	شعاع خم سنبه
mm	1.0	$C_r$	لقی ورقگیر
—	0.1	$\mu$	ضریب اصطکاک
—	5 × 45	$nt \times np$	تعداد المان ها



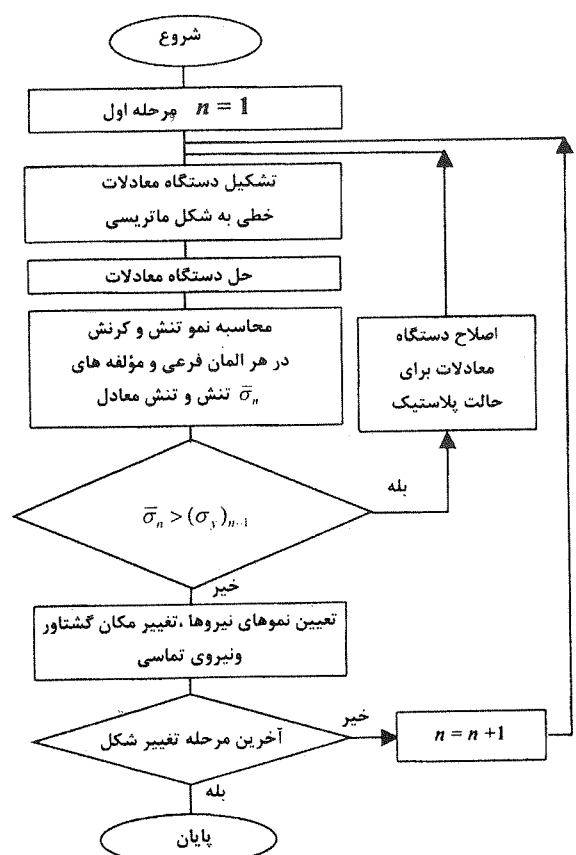
شکل (۷) پروفیل ورق در حین تغییر شکل.



شکل (۸) انحنای ورق در راستای پروفیل اولیه  
. (قبل از تغییر شکل) آن در step=1000.

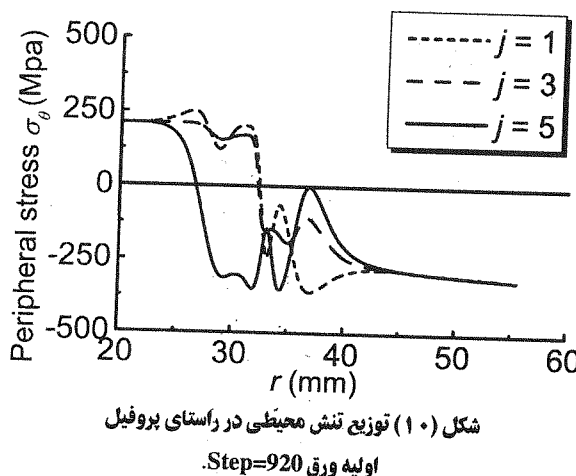


شکل (۹) توزیع تنش نصف النهاری در راستای  
پروفیل اولیه ورق Step=610.



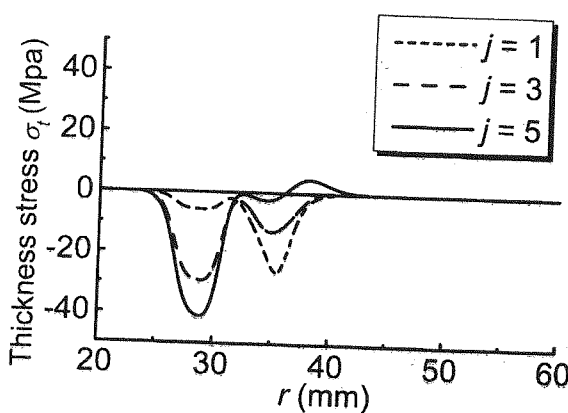
شکل (۱۰) فلوچارت روال محاسبات.

همچنین در شکل مشاهده می گردد که در ناحیه خم سنbe، لایه بالایی ( $j=5$ ) بعلت آنکه تحت فشار قرار دارد، تنش در جهت ضخامت آن منفی بوده، ولی در ناحیه خم قالب این امر برای لایه پایینی صادق است.



### تنش در جهت ضخامت

شکل ۱۱ توزیع تنش در جهت ضخامت را برای سه لایه فوق الذکر در راستای پروفیل اولیه ورق نشان می دهد.



### کردنش محیطی

شکل ۱۲ نشانگر مقایسه ای بین مقادیر تجربی کرنش محیطی که از منبع [۴] در شرایط کاری نسبتاً مشابه با این تحلیل، استخراج شده با مقادیر محاسبه شده بوسیله تحلیل حاضر است که برای لایه  $j=1$  و در راستای پروفیل ورق رسم شده و نشان دهنده تطابق نسبتاً خوب نتایج با مقادیر تجربی است. ماکریم خطا در ناحیه خم قالب برابر است با،

در این شکل ملاحظه می شود که بیشترین مقادیر تنش کششی یا فشاری، اطراف ناحیه خم سنbe و خم قالب رخ می دهد که بیانگر شدت تغییر شکل خمشی در این نواحی است. به دلیل وجود اثرات خم و راست شدن ورق روی نواحی خم سنbe و قالب، تنش در هر یک از این دو ناحیه دارای تغییرات زیادی است. همچنین اطراف خم سنbe، خم شدن ورق بگونه ای است که تقریباً به سمت بالاست ولذا لایه های پایینی تحت کشش و لایه های بالایی تحت فشار قرار دارند. اما اطراف خم قالب، عکس این حالت صادق است و به دلیل آنکه لایه های بالایی کششی اند، تنش نصف النهاری در آنها ثابت و چون لایه های پایینی فشاریند، تنش نصف النهاری در آنها منفی است.

در ناحیه صاف زیر سنbe، تنش نصف النهاری تقریباً ثابت است که علت آن، عدم وجود تغییر شکل خمشی در این ناحیه است.

### تنش محیطی

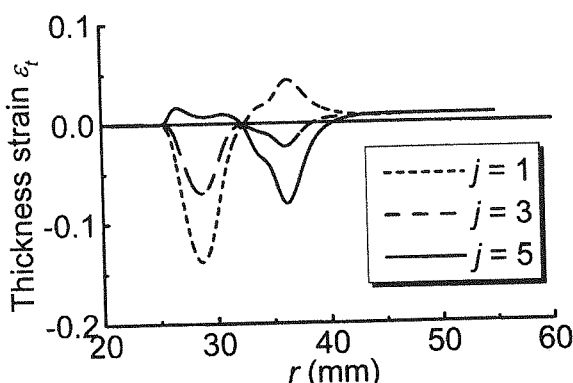
شکل ۱۰ توزیع تنش محیطی را برای سه لایه فوق الذکر در راستای پروفیل اولیه ورق نشان می دهد. در نمودار های شکل ۹ ملاحظه شد که تنش نصف النهاری در ناحیه مرکزی ورق (زیر ناحیه صاف سنbe) و نیز در ناحیه روی فلنچ قالب، هر دو کششی است. ولی در این شکل دیده می شود که تنش محیطی در ناحیه مرکزی ورق کششی و در ناحیه فلنچ قالب فشاری است که این امر وجود اتساع در ناحیه زیر سنbe و کشش در ناحیه فلنچی شکل را تایید می کند.

در ناحیه خم سنbe و قالب، توزیع تنش را به همان دلایلی که دو مورد تنش نصف النهاری بیان شد، می توان توجیه کرد. به عبارت دیگر، توزیع تنش وابسته به فشاری یا کششی بودن لایه هاست. همچنین، ملاحظه می شود که برآیند تنش محیطی لایه ها در ناحیه ورودی به قالب، مقداری نسبتاً بزرگ و فشاری است که با افزایش مراحل کشش و بیشتر شدن تغییر مکان عمودی سنbe، این تنش محیطی فشاری افزایش می پارد و عبور آن از یک حد بحرانی، سبب چروکیدگی ورق خواهد شد. برای چلوگیری از وقوع این پدیده، روش هایی مانند استفاده از ورق گیر توصیه شده است.

در این شکل ملاحظه می شود که تنش در جهت ضخامت در ناحیه فلنچ قالب صفر است که این نتیجه، فرض تنش صفحه ای در این ناحیه را تایید می کند. اصولاً در روش های تحلیل کشش عمیق مانند روش اسلب رفتار تغییر شکل ورق روی فلنچ قالب، تنش صفحه ای در نظر گرفته می شود. یعنی تنش در جهت ضخامت پر ابر صفر است ( $\sigma_0 = 0$ ).

$$e_{\max} (\%) = \frac{-0.0097 - (-0.0798)}{-0.097} \times 100 = 17.7\%$$

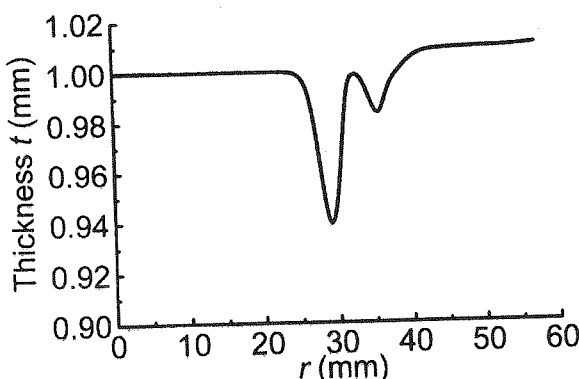
همانطور که در شکل ملاحظه می شود، بیشترین مقدار کرنش محیطی فشاری، در ناحیه خم قالب رخ می دهد و علت آن این است که به هنگام جریان یافتن ماده ورق از روی فلنج به درون قالب، شعاع و در نتیجه محیط المان های اصلی کاهش یافته و در نتیجه ماده متحمل کرنش محیطی زیادی خواهد شد. بیشترین مقدار کرنش محیطی کششی نیز روی خم سنبه رخ داده، که علت آن نیز افزایش شعاع المان ها به هنگام جریان یافتن ماده از زیر سنبه به سمت دیواره استوانه ای محصول است.



شکل (۱۳) توزیع کرنش در جهت ضخامت در راستای بروفیل اولیه ورق Step=610

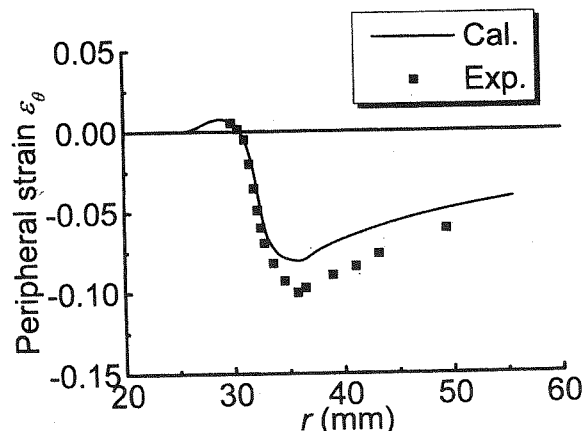
### تفییر ضخامت

همانگونه که در شکل ۱۴ نشان داده شده است، تغییر ضخامت ورق نیز تقریباً از الگوی کرنش در جهت ضخامت لایه میانی ( $j=3$ ) تبعیت می کند.



شکل (۱۴) ضخامت ورق در راستای بروفیل اولیه آن Step=610

یعنی ضخامت در زیر ناحیه صاف سنبه که کف محصول استوانه ای را تشکیل می دهد، بعلت حرکت شعاعی کم ماده پر این ناحیه، به میزان خیلی کمی کاهش می یابد، طوری که برابر ضخامت اولیه ورق فرض می شود. روی ناحیه خم سنبه، تحت اثر کشش، اتساع و خمش، ضخامت ورق به میزان قابل ملاحظه ای کاهش می یابد. در ناحیه دیواره استوانه ای، ضخامت به میزان کم کاهش می یابد. روی خم قالب نیز ورق دستخوش مقداری کاهش ضخامت خواهد بود. بالاخره از ناحیه فلنج قالب تا زیر ورقگیر، ضخامت به میزان کم و به تدریج افزایش می یابد، بطوریکه بیشترین ضخامت محصول، در لبه ورق زیر ورقگیر خواهد بود و از این جهت است که اصولاً در تحلیل فرآیند کشش عمیق، پارامتری از طرف ورقگیر به صورت پک پار متمرکز روی لبه ورق در نظر گرفته می شود.



شکل (۱۵) مقایسه مقادیر تجربی و تحلیلی کرنش محیطی لایه ۱ Step = 920, j = 1

### کرنش در جهت ضخامت

در شکل ۱۳ توزیع کرنش در جهت ضخامت در راستای بروفیل اولیه ورق برای سه لایه فوق الذکر نشان داده شده است. روی خم قالب، به دلیل آنکه تنش های نصف النهاری و محیطی لایه بالایی ( $j=5$ ) هر دو کششی هستند، کرنش در جهت ضخامت منفی است و در نتیجه ضخامت این لایه کاهش می یابد. ولی برای لایه مجاور قالب ( $j=1$ ), بعلت آنکه تنش های محیطی و نصف النهاری آن هر دو فشاری است، کرنش در جهت ضخامت مثبت است و لذا ضخامت این لایه مقداری افزایش می یابد. روی ناحیه خم سنبه، عکس این حالت پرقرار است. بطوریکه کرنش در جهت ضخامت برای لایه پایینی ( $j=1$ ) منفی و برای لایه بالایی ( $j=5$ ) البته به مقدار کمی مثبت است.

همچنین در شکل مشاهده می شود که برایند کرنش لایه ها در جهت ضخامت، تقریباً برابر کرنش در جهت ضخامت لایه میانی ( $j=3$ ) می باشد.

## نتیجه گیری نهایی

برای مطالعه فرآیند کشش عمیق، یک روش عددی ساده، سریع و جامع ارائه شده است. در این تحلیل پارامترهای مهمی چون اصطکاک، برش، تغییر ضخامت و خمش در نظر گرفته شده اند. با استفاده از این روش، تحلیل کشش عمیق قطعات استوانه ای انجام شده و رفتار ورق فلزی و توزیع تنش، کرنش و تغییر ضخامت در این تغییر شکل به دست آمده اند. وجود نتایج معقول و منطقی و تطابق نسبتاً خوب مقادیر محاسبه شده کرنش محیطی با مقادیر اندازه گیری

## مراجع

- [1] M. Al-Makky and D. M. Woo, Deep drawing through tractrix type dies, Int. J. Mech.Sci., Vol. 22, pp. 467-480 (1980).
- [2] S. Kobayashi and J. H. Kim, Deformation analysis of axisymmetric sheet metal forming processes by the rigid-plastic finite element method, Mechanics of sheet metal forming, General Motors Research Laboratories, pp. 341 (1978).
- [3] Y. Nakamura, T. Tatenami and K. Saito, Numerical solution of deep drawing through tractrix die, Proceedings of the Numer. Meth. Indust. Forming Processes, pp. 677-686 (1982).
- [4] Y. Nakamura, T. Tatenami and K. Saito, An analysis of deep drawing Process combined with bending, Proceedings of the Numer. Meth. Indust. Forming Processes, pp. 687-696(1982).
- [5] M. Kiuchi, H. Moslemi Naeini and K. Shintani, Numerical analysis of reshaping processes of pipes with non-circular cross sections, Proceedings of the 6<sup>th</sup> International Conference of Advanced Technology of Plasticity, Vol.3, pp. 2399-2404(1999).
- [6] B. G. Hansen, N. Bay and M. P. Malberg, A new analysis and verification method of the axisymmetrical deep drawing process, Simulation of Material Processing, Theory Methods and Application, pp. 711(1995).
- [7] محمد گودرزی، تحلیل عددی فرآیند کشش عمیق به کمک رایانه، دانشگاه تربیت مدرس، پایان نامه کارشناسی ارشد، ۱۳۷۹.
- [8] مهدی کلاته عربی، محاسبه نیروهای وارد به لوله و ابزار و تهیه نرم افزار سایزینگ در دستگاه RSA، دانشگاه تربیت مدرس، پایان نامه کارشناسی ارشد، ۱۳۷۴.